

## МОРФОЛОГІЯ

© В. А. Єфремова, С. І. Савосько\*, О. М. Макаренко

УДК 616. 831. -005. 1-085: 615. 361

**В. А. Єфремова, С. І. Савосько\*, О. М. Макаренко**

### ДИНАМІКА СТРУКТУРНО- МОРФОЛОГІЧНИХ ЗМІН КОРИ ВЕЛИКОГО

### МОЗКУ ЩУРІВ ЗА УМОВ МОДЕЛЮВАННЯ ГЕМОРАГІЧНОГО ІНСУЛЬТУ

**ННЦ «Інститут біології», КНУ ім. Тараса Шевченка (м. Київ)**

**\* НМУ ім. О. О. Богомольця (м. Київ)**

Дослідження виконано як фрагмент комплексної науково-дослідної роботи кафедри гістології та ембріології НМУ ім. О. О. Богомольця «Органи нервової, імунної та сечостатової системи в умовах експериментального пошкодження», № державної реєстрації 0112U001413.

**Вступ.** Інсульт – одне з найпоширеніших захворювань у людей середнього і літнього віку. Рівень смертності в економічно розвинених державах від порушень мозкового кровообігу посідає 3 місце, поступаючись лише онкологічним та кардіоваскулярним захворюванням. Кількість ішемічних інсультів за останні 10 років і в Україні постійно зростала, збільшившись в 1,5 рази [3]. Значна кількість пацієнтів після інсульту залишаються інвалідами, а у 25-30% спостерігаються важкі прояви неврологічного дефіциту [1,6]. Летальність хворих, які перенесли гострий ішемічний інсульт впродовж першого місяця захворювання, складає від 20 до 40 %. Повторний інсульт у цієї категорії осіб протягом першого року (після первинного) розвивається лише у 2% пацієнтів, але в наступні 5 років зростає до 25-30%, причому більшість хворих (60-70%) залишаються інвалідами [2,4].

Таким чином, вивчення гострої недостатності мозкового кровообігу (ГНМК) різної етіології, і, особливо, динаміки її розвитку є надзвичайно актуальною проблемою. За останні два десятиліття суттєво зросла кількість нових даних присвячених вивченю цереброваскулярної патології. В той же час дослідження, спрямовані на вивчення структурно-функціональних основ діяльності окремих клітинних утворень мозку в динаміці, представлені поодинокими працями [2].

**Мета дослідження** полягала у вивчені структурних порушень, що розвиваються в цереброкоректсі щурів на різних етапах відтворення геморагічного інсульту [ГІ].

**Об'єкт і методи дослідження.** Досліди проведено на 80 щурах-самках (середня маса  $214,1 \pm 10,2$  г), що були розділені на 6 груп. Першу групу склали інтактні тварини ( $n=10$ ), другу псевдооперовані ( $n=10$ ), наступні чотири тварини із інсультом із різним терміном розвитку патології (1, 3, 7 і 15 днів після інсульту) ( $n=60$ ). Утримання тварин

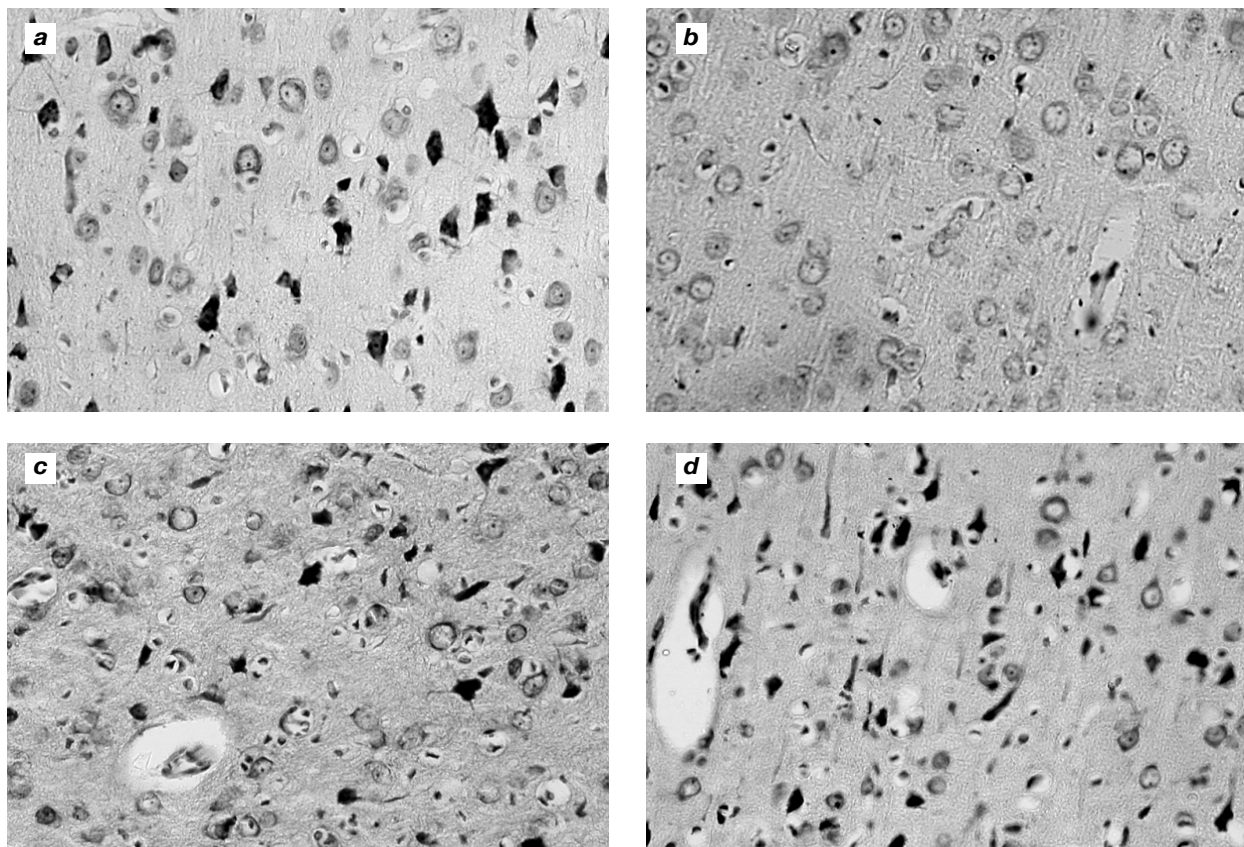
та експерименти проводилися відповідно до положень «Європейської конвенції про захист хребетних тварин, які використовуються для експериментів та інших наукових цілей» (Страсбург, 1985), «Загальних етических принципів експериментів на тваринах», ухвалених Першим національним конгресом з біоетики (Київ, 2001).

Псевдооперованим тваринам здійснювали операційний доступ до мозкового черепу через отвір в правій тім'яній кістці щурів відповідно до діаметру канюлю. Проте на відміну від оперованих тварин не здійснювали введення канюлю із мандреном у тканину мозку. Рану зашивали наглухо поліамідними нитками 2 USP (Олімп, Україна) і обробляли 5% спиртовим розчином йоду.

Модель гострого ГІ полягала у відтворенні локальної посттравматичної гематоми в ділянці внутрішньої капсули (capsula interna, CI) правої півкулі головного мозку щурів [5].

Моделювання інтрацеребральної гематоми аутокров'ю у наркотизованих тварин (1% розчин тіопентал-натрію, 60 мг/кг, внутрішньоочеревинно) здійснювали в результаті механічного руйнування тканини CI (capsula interna dextra, L=3,5-4,0; H=6,0; AP=0,6-1,0) [9]. В ділянку CI за допомогою стереотаксичного приладу (СТМ-3, Росія) вводився підготовлений мандрен-ніж, а безпосередній процес моделювання здійснювався 4-6 обертовими рухами відхиленого мандrena-ножа із наступним введенням в зону деструкції 0,15-0,2 мл аутокрові тварин. Після проведення оперативного втручання і комплексу послідовних інсульту модулюючих маніпуляцій рану в ділянці мозкового черепа зашивали наглухо поліамідними нитками 2 USP (Олімп, Україна), цю ділянку обробляли 5% спиртовим розчином йоду [4].

Через 1, 3, 7 і 15 днів після моделювання локального гострого ГІ в ділянці CI дослідним щуром вводили летальну дозу тіопентал-натрію (1% розчин, 200 мг/кг внутрішньоочеревинно) і здійснювали забір тканини головного мозку для подальшого гістологічного дослідження. Після виконання стандартних підготовчих методик отримували зрізи головного мозку товщиною 10 мкм, що фарбувались стандартними розчинами гематоксиліну та еозину. Морфометричні дослідження проводили із використанням



**Рис. Сенсомоторний церебокортекс щурів при моделюванні гострого ГІ: а – 1 доба після інсульту, б – 3 доба, в – 7 доба, д – 15 доба; (забарвлення за Ніслем, Об. 40, ок. 12).**  
**Збільшення нейродегенерації та набряку тканини мозку впродовж експерименту.**

мікроскопу Olympus BX51 (Японія). Кількісний аналіз структурних змін, що відбуваються в сенсомоторному церебокортексі головного мозку щурів полягав у вимірюванні середньої площині ядер, тіл нейронів, загальної кількості нейронів на одиницю площини ( $1\text{мм}^2$ ) та кількість загиблих нейронів. Достовірність різниці між різними групами тварин оцінювали із використанням t-критерію Стьюдента та Вілкоксона, у програмах MS Excel 2007 та Statistica 6.0. Достовірними вважались такі результатами, що за рівнем значимості дорівнювали або були більше  $95\%$  ( $P<0,05$ ).

**Результати дослідження та їх обговорення.** Після проведеного експерименту було досліджено фронтальні зразки головного мозку щурів із застосуванням сучасних гістологічних та статистичних методів. Згідно загальноприйнятого уявлення [1, 8] інсультом називають гостре порушення мозкового кровообігу, що триває більше 24 год. і супроводжується неврологічною симптоматикою. При цьому в головного мозку розвиваються значні структурні порушення у вигляді інфаркту мозку, крововиливув тканину мозку, шлуночки, або субарахноїдальний простір [3,4,6,9]. В ході нашого експериментального дослідження при вивчені фронтальних зразків головного мозку дослідних щурів було виявлено оформлену інтрацеребральну гематому в ділянці правої СІ згідно стереотаксичних координат. Проникнення крові в бічні шлуночки не відмічено. При детальному

морфологічному вивченні ділянок сенсомоторної кори великих півкуль головного мозку виявлено значні порушення, особливо, в ділянці локалізації гематоми. В тканині навколо інтрацеребральної гематоми спостерігалася картина формування гліального рубця (виражений гліоз), відзначалася значна інфільтрація ділянки моделювання ГІ лейкоцитами.

На гістологічних препаратах фронтальних зразків головного мозку інсультичних тварин через 1 день після моделювання інтрацеребральної гематоми спостерігається поліморфний характер змін нейронів: гідропс одних і пікноз інших нейронів (рис.). Зустрічаються окремі зморщені гіперхромні нейрони із деформованими нейритами. Відзначаються ознаки набухання і значний перинейритний набряк.

У пірамідних нейронах чітко виражені явища центрального і периферичного тигролізу. Ядра пірамідних нейронів відрізняються між нейронами, в одних клітинах реєструється набряк та гіпертрофія ядра, а в інших – деформація, зморщування і, навіть деструкції ядер.

Морфометричне дослідження структурних змін пірамідних нейронів V шару сенсомоторного неокортексу показало достовірне збільшення середньої площині нейронів та ядер в обох дослідних півкулях головного мозку. Середня площа нейронів в іпсолатеральній та контрлатеральній півкулі склада відповідно  $322,6 \pm 11,1 \text{ мкм}^2$  і  $310,6 \pm 9,4 \text{ мкм}^2$ , тобто на

## МОРФОЛОГІЯ

Таблиця 1

### Динаміка нейродегенеративного процесу кори великого мозку

№	Група	Іпсилатеральна півкуля		Контралатеральна півкуля	
		Загальна кількість нейронів, $\text{мм}^2$	Кількість загиблих нейронів, %	Загальна кількість нейронів, $\text{мм}^2$	Кількість загиблих нейронів, %
1	Ін tactні	693,5±10,6	1,8±0,1	693,5±10,6	1,8±0,1
2	Псевдо-оперовані	654,8±5,0 a	5,0±0,2 a	686,4±9,7	2,7±0,1 a
3	ГІ, 1 день	657,9±4,1 a	9,0±0,5 a,b	656,1±6,4 a,b	6,4±0,3 a,b
4	ГІ, 3 день	633,1±3,5 a,b,c	6,8±0,3 a,b	638,0±3,3 a,b,c	5,7±0,1 a,b
5	ГІ, 7 день	603,9±4,2 a,b,c	10,9±0,4 a,b,c	611,1±2,5 a,b,c	7,8±0,2 a,b
6	ГІ, 15 день	582,3±5,9 a,b,c	7,5±0,3 a	608,6±3,6 a,b	4,7±0,2 a,b,c

**Примітка:** а – достовірно по відношенню до ін tactніх тварин ( $p<0,05$ ); б – достовірно по відношенню до псевдооперованих тварин ( $p<0,05$ ); с – достовірно по відношенню до попереднього періоду ін сульту ( $p<0,05$ ).

більше 10-13 %. Відповідно до цього середня площа ядер нейронів склала  $200,2\pm8,0 \text{ мкм}^2$  і  $176,0\pm7,4 \text{ мкм}^2$ , тобто збільшилась на 15 % і 30 %. Середня кількість нейронів в іпсилатеральній півкулі становить  $657,9\pm4,1$  клітин/ $\text{мм}^2$ , а в контралатеральній –  $656,1\pm6,4$  клітин/ $\text{мм}^2$ , що достовірно менше в середньому на 5 % в порівнянні із ін tactніми тваринами (табл. 1).

Через 3 доби після моделювання геморагічної інсульти ступінь розвитку ішемічного ушкодження клітинних утворень головного мозку тварин був значно більшим. Кількість загиблих, ішемізованих та набряклих нейронів суттєво зросла. Навколо нейронів відзначається виражений перицелюлярний набряк. Ядра пірамідних нейронів часто характеризуються ектопічним розташуванням ядерець, а у деяких зовсім відсутні. Присутні групи гліальних клітин з гіперхроматозом ядер. Кількість цих клітин навколо нейронів візуально збільшилась, що вказує на розвиток гліозу. Середня площа нейронів в іпсилатеральній та контралатеральній півкулі склала відповідно  $355,3\pm14,2 \text{ мкм}^2$  і  $353,2\pm11,4 \text{ мкм}^2$ , тобто більше на 10-13 % в порівнянні із 1-денним періодом дослідження. Середня кількість нейронів в достовірно зменшилась на 4-6 %.

У неокортексі дослідних щурів через 7 днів після моделювання геморагічного інсульту відмічено гострий набряк тканини мозку, збільшення кількості дегенерованих нейронів, що вказує на загострення патологічного процесу впродовж періоду дослідження.

У інсультній півкулі (іпсилатеральній) більшість нейронів знаходяться в стані гострого набряку, набухання тіл і ядер клітин (рис.). Реєструється значна кількість нейронів з деформованими ядрами і з ознаками деструкції (аутолізу). Відзначається гострий перицелюлярний набряк, особливо навколо апікальних і базальних дендритів. Спостерігаються також периваскулярні набряки із стазом формених елементів в кровоносних капілярах.

Гліальні клітини також характеризуються значними структурними змінами. В корі великих півкуль спостерігається значна кількість гліоцитів із пікнозом ядер. Навколо клітин також спостерігається перицелюлярний набряк. У деяких тварин гострий набряк тканини кори мозку надає нервовій тканині губчастої морфології. Середня площа нейронів в іпсилатеральній та контралатеральній півкулі склала відповідно  $433,6\pm16,0 \text{ мкм}^2$  і  $397,0\pm10,6 \text{ мкм}^2$ , тобто більше на 20 % і 12 % в порівнянні із 3-денним періодом дослідження. При цьому площа ядер пірамідних нейронів достовірно збільшилась на 12 % і 20 % в залежності від локалізації гематоми. Середня кількість нейронів в іпсилатеральній півкулі зменшилась до  $603,9\pm4,2$  клітин/ $\text{мм}^2$ , а в контралатеральній –  $611,1\pm2,5$  клітин/ $\text{мм}^2$ , що достовірно менше від попереднього терміну дослідження в середньому на 5 %

Через 15 днів після моделювання ГІ в іпсилатеральній півкулі відзначається значна кількість дегенерованих нейронів, а в деяких ділянках неокортексу зустрічаються ділянки некрозу тканини мозку. Морфологічно більшість пірамідних нейронів та гліальних клітин перебувають в стані пікнозу, що свідчить про значні функціональні порушення в іпсилатеральній півкулі. В контралатеральній півкулі порушення мали дещо інший характер: нервові клітини мали гіпертрофований набряклий вигляд, зустрічаються окремі клітини з ознаками аутолізу. Спостерігається гострий перицелюлярний набряк та периваскулярний набряк, ангіонекроз. Результати морфометричного дослідження пірамідних нейронів V шару сенсомоторного неокортексу через 15 днів після ГІ підтверджують морфологічні ознаки гострого набряку тканини мозку. Середня площа нейронів в іпсилатеральній та контралатеральній півкулі склала відповідно  $379,8\pm13,1 \text{ мкм}^2$  і  $343,8\pm14,5 \text{ мкм}^2$ , що дещо менше в порівнянні із 7-денним терміном спостереження (табл. 2).

## МОРФОЛОГІЯ

Таблиця 2

### Зміни морфометричних параметрів нейронів V шару кори великого мозку

№	Група	Іпсілатеральна півкуля		Контралатеральна півкуля	
		Площа нейрона	Площа ядра	Площа нейрона	Площа ядра
1	Ін tactні	284,1±8,0	153,5±5,9	284,1±8,0	153,5±5,9
2	Псевдо-оперовані	296,3±8,5	197,1±7,1 a	292,2±9,7	180,2±6,5 a
3	ГІ, 1 день	322,6±11,1 a,b	200,2±8,0 a	310,6±9,4 a,b	176,0±7,4 a
4	ГІ, 3 день	355,3±14,2 a,b,c	205,9±9,9 a	353,2±11,4 a,b,c	163,2±10,0 b
5	ГІ, 7 день	433,6±16,0 a,b,c	225,0±10,0 a,b,c	397,0±10,6 a,b,c	204,3±7,7 a,b,c
6	ГІ, 15 день	379,8±13,1 a,b,c	210,0±12,4 a	343,8±14,5 a,b,c	163,8±7,9 b,c

**Примітка:** а – достовірно по відношенню до ін tactніх тварин ( $p<0,05$ ); б – достовірно по відношенню до псевдооперованих тварин ( $p<0,05$ ); с – достовірно по відношенню до попереднього періоду інсульту ( $p<0,05$ ).

Зменшення цього параметру можна пояснити тим, що на 15 день відбулась повна деструкція великих нейронів і в статистичну вибірку нами обрані всі інші нейрони. Загибель нейронів суттєво відобразилась на показнику щільноти клітин в неокортиксі. Зокрема, середня кількість нейронів в іпсілатеральній півкулі становить  $582,3\pm5,9$  клітин/ $\text{мм}^2$ , а в контралатеральній –  $608,6\pm3,6$  клітин/ $\text{мм}^2$ , тобто достовірно менше в іпсілатеральній півкулі на 5% в порівнянні із попереднім терміном дослідження.

**Висновки.** Таким чином, проведене дослідження показало, що в перші 3 доби розвитку експериментального ГІ відбуваються початкові процеси (ініціальні) патологічного процесу, що з 7 по 15 добу вже є необоротними і спричинюють значну загибель нервових клітин та набряку тканини мозку.

Окрему увагу слід звернути на порушення в контралатеральній півкулі, оскільки в роботах інших

дослідників [2,4,7] цим порушенням не приділяють достатньої уваги. В нашому експериментальному дослідженні встановлено суттєві морфологічні зміни в контралатеральній півкулі, що характеризуються гідропічним ураженням нейронів, загибеллю та набряком тканини мозку і одночасною активацією пірамідних нейронів. Ці зміни свідчать про генералізований характер патологічного процесу при інсульти і компенсаторній активації контралатеральної півкулі головного мозку, внаслідок гострого порушення мозкового кровообігу, і є надзвичайно важливим для розуміння патогенезу даної патології.

**Перспективи подальших досліджень.** Подальші дослідження в цьому напрямку полягають з детальному аналізі факторів ризику первинного і повторного інсультів, що допоможе у вирішенні питань прогнозування наступних епізодів патології і поліпшенні результатів вторинної профілактики.

## Література

1. Виленский Б. С. Инсульт / Борис Сергеевич Виленский. – С. -Пб. : Мед. информ. агентство, 1995. – 288 с.
2. Виленский Б. С. Инсульт: профилактика, диагностика и лечение. 2-е изд., доп. / Борис Сергеевич Виленский. – С. -Пб. : Фолиант, 2002. – 397 с.
3. Зозуля А. І. Лікування оклузивно-стенотичних процесів внутрішньої сонної артерії / Андрій Іванович Зозуля // Збірник наукових праць співробітників КМАПО ім. П. Л. Шупика. – 2004. – Кн. 1, Вип. 13. – С. 194–197
4. Крайнева В. А. Нейропротективные свойства фобазола при повторном моделировании геморрагического инсульта у старых крыс / В. А. Крайнева, С. Б. Середенин // БЭБиМ. – 2010. – Т. 149(2). – С. 165–168.
5. Метод моделирования локального кровоизлияния в различных структурах головного мозга у экспериментальных животных / [Макаренко А. Н., Косицын Н. С., Пасикова Н. В., Свинов М. М.] // ЖВНД. – 2002. – Т. 52(6). – С. 765–768.
6. Внутрішньошлуночкові крововиливи в структурі геморагічних інсультів / [Поліщук М. Є., Данацко В. В., Зозуля І. С. та ін.] // Проблеми екологічної та медичної генетики і клінічної імунології. – 2002. – Вип. 1 (40). – С. 69–74.
7. Ромоданов А. П. Мозговой геморрагический інсульт / А. П. Ромоданов, Г. А. Педаченко. – К. : Здоров'я, 1971. – 228 с.
8. NAP, a Femtomolar-Acting Peptide, Protects the Brain Against Ischemic Injury by Reducing Apoptotic Death / [Leker R. R., Teichner A., Grigoriadis N. et al.] // Stroke. – 2002. – Vol. 33(4). – P. 1085–1092.
9. The Rat Brain in Stereotaxic Coordinates, 2nd ed. / Paxinos G., Watson C. – Acad. Press : SanDiego, 1986. – 920 p.

## МОРФОЛОГІЯ

УДК 616. 831. -005. 1-085: 615. 361

### ДИНАМІКА СТРУКТУРНО-МОРФОЛОГІЧНИХ ЗМІН КОРИ ВЕЛИКОГО МОЗКУ ЩУРІВ ЗА УМОВ МОДЕЛЮВАННЯ ГЕМОРАГІЧНОГО ІНСУЛЬТУ

Єфремова В. А., Савосько С. І., Макаренко О. М.

**Резюме.** Досліджено особливості патологічних змін в корі головного мозку щурів на різних етапах розвитку експериментального геморагічного інсульту. Аналіз морфологічних та статистичних даних показав, що розвиток гострого набряку тканини мозку реєструється на 3 добу, а з 7 по 15 день розвиваються некротичні процеси в корі мозку. На 15 день експерименту середня кількість нейронів в контралатеральній корі мозку зменшилась на 12%, а в іпсілатеральній на 16%.

**Ключові слова:** геморагічний інсульт, нейродегенерація, набряк мозку.

УДК 616. 831. -005. 1-085: 615. 361

### ДИНАМИКА СТРУКТУРНО-МОРФОЛОГИЧЕСКИХ ИЗМЕНЕНИЙ КОРЫ БОЛЬШОГО МОЗГА КРЫС В УСЛОВИЯХ МОДЕЛИРОВАНИЯ ГЕМОРРАГИЧЕСКОГО ИНСУЛЬТА

Ефремова В. А., Савосько С. И., Макаренко А. Н.

**Резюме.** Исследованы особенности патологических изменений в коре головного мозга крыс на разных этапах развития экспериментального геморрагического инсульта. Анализ морфологических и статистических данных показал, что развитие острого отека ткани мозга регистрируется на 3 сутки, а с 7 по 15 день развиваются некротические процессы в коре головного мозга. На 15 день эксперимента среднее количество нейронов в контралатеральной коре мозга уменьшилось на 12%, а в ипсилатеральной на 16%.

**Ключевые слова:** геморрагический инсульт, нейродегенерации, отек мозга.

UDC 616. 831. -005. 1-085: 615. 361

### Dynamics of Structural Changes that Develop in Rats Cerebral cortex under Hemorrhagic Stroke Modeling

Iefremova V. A., Savosko S. I., Makarenko A. N.

**Summary.** The aim of the study was structural changes that develop in rats cerebral cortex at different stages of hemorrhagic stroke modeling.

Experiments conducted on rats, 80 females (average weight  $214,1 \pm 10,2$  g), which were divided into 6 groups. The first group consisted of intact animals ( $n = 10$ ), the second pseudooperated ( $n = 10$ ), the rest four groups were rats at different stages of hemorrhagic stroke modeling. Pseudooperated animals exercised operational access to the brain and the skull hole in the right parietal bone of rats according to the diameter of the cannula. However, unlike the operated animals, they did not commit the introduction of the cannula with mandren-knife in brain tissue.

Modeling of intracerebral hematoma with autologous blood in anesthetized animals (1% solution of thiopental sodium, 60 mg/kg, ip) was performed by mechanical tissue destruction of the CI [9]. In the zone of the CI with using stereotaxic instrument (STM-3, Russia) and prepared mandren-knife was carried out 4-6 rotating movements declined mandren-knife and following injection into the zone of destruction 0.15-0.2 ml of animal's autologous blood.

After 1, 3, 7 and 15 days after hemorrhagic stroke modeling in the area of CI rats carried out by sampling the brain for subsequent histological examination.

Morphometric studies consisted in measuring the average area of nuclei bodies of neurons, the total number of neurons per unit area ( $1\text{mm}^2$ ) and the number of dead neurons. Comparing the morphological changes in the cerebral hemispheres of rats 7 days after hemorrhagic stroke modeling should emphasize on the acute necrotic processes in ipsilateral hemisphere, while in the contralateral hemisphere, these processes are less observed. The average area of neurons in the contralateral and ipsilateral hemisphere amounted to  $317,4 \pm 7,9$   $\mu\text{m}^2$  and  $341,1 \pm 13,6$   $\mu\text{m}^2$ , that is significantly more than in intact animals and pseudooperated. The average number of neurons in ipsilateral hemisphere decreased to  $608,9 \pm 3,1$  cells/ $\text{mm}^2$ , and contralateral –  $622,6 \pm 2,4$  cells/ $\text{mm}^2$ .

After 15 days of hemorrhagic stroke modeling morphological changes in the cerebral cortex of rats characterized by exacerbation of nervous tissue edema and death of nerve cells. During this period, a significant difference between ipsi- and contralateral hemispheres was not observed. In both hemispheres of the brain recorded significant edema swelling and a large number of degenerated cells. Nerve cells have hypertrophied swollen appearance; there are a significant number of cells with signs of autolysis and degradation of neurite. The average area of neurons in the contralateral and ipsilateral hemisphere amounted to  $379,8 \pm 13,1$   $\mu\text{m}^2$  and  $343,8 \pm 14,5$   $\mu\text{m}^2$ . The death of neurons significantly reflected in terms of density of cells in the neocortex. In particular, the average number of neurons in the ipsilateral hemisphere was  $582,3 \pm 5,9$  cells/ $\text{mm}^2$ , and contralateral –  $608,6 \pm 3,6$  cells/ $\text{mm}^2$  that is significantly less than in 7 days after modeling and group of animals with ischemic stroke.

Study showed that special attention should be paid to irregularities in the contralateral hemisphere, as in the works of other such violations do not pay enough attention. In our research, we found out significant morphological changes in contralateral hemisphere, characterized damage of neurons, loss and swelling of brain tissue and the simultaneous activation of pyramidal neurons.

**Key words:** hemorrhagic stroke, swelling of brain tissue, neurodegenerative processes.

Рецензент – проф. Костенко В. О.

Стаття надійшла 28. 04. 2013 р.